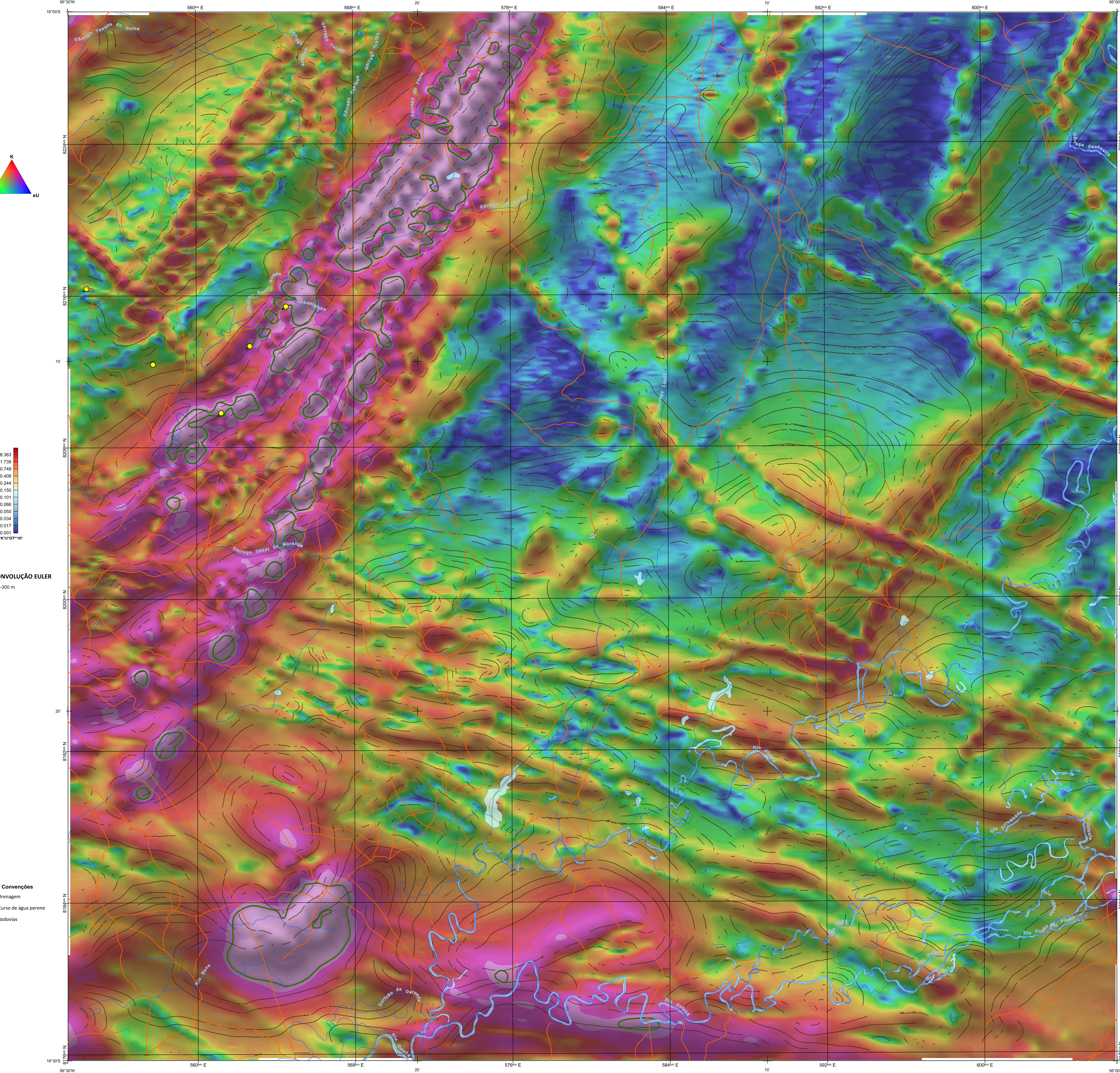


FOLHA SE.21-X-A-II

GREENWICH



**NOTA TÉCNICA**

Este documento é resultado da interpretação geofísica e identificação das anomalias de gradiente total do terreno produzido pelo Serviço Geológico do Brasil-CGPM disponibilizado no Sistema de Geocientistas do Brasil (GeoGBR). A "Carta de anomalias" é apresentada para diversas áreas do território brasileiro, que incluem províncias minerais consolidadas ou em consolidação. A "Carta de anomalias" é suportada por um banco de dados geográficos, geológicos, geoparques e de recursos minerais, publicado no site do Serviço Geológico do Brasil - CGPM.

O banco de dados aerogeofísico utilizado na construção deste produto foi obtido através do Projeto Cuiabá, adquirido no ano de 2015, pelo Serviço Geológico do Brasil - CGPM. Este projeto possui espalhamento entre as linhas de voo de 500 m na direção norte-sul e altura média de voo de 100 m. Linhas de controle espaciais foram definidas na base de dados aerogeofísicos e utilizadas para a realização da aquisição dos dados, bem como a localização da linha de uma leitura magnetotriônica a cada 10 m e uma leitura gammaspectrométrica a cada 10 m.

Os dados geoparque estão disponíveis no Sistema de Geocientistas do Serviço Geológico do Brasil (GeoGBR). Os amostras de sedimentos de corrente foram coletadas de maneira com posta e acondicionadas em sacos de parafuso, secas naturalmente e pulverizadas - 200µ. Foram enviadas para análise para 37 elementos por ICP-MS por meio de digestão de águas reagentes, e para Au por fire assay nos laboratórios da ITS - Instituto de Testagem e Serviços (https://doi.org/10.1109/2012.6235364), São Paulo, Serviço Geológico do Brasil - SGB/CGPM, 2022, ínigo color, Escala 1:100.000.

O modelo com a melhor combinação de hiperparâmetros é utilizado para prever as ilhotas. Uma das limitações mais notáveis da metodologia é o aspecto gráfico do resultado, que ocorre devido à falta de informação espacial como dado de entrada para os modelos. Além disso, os alvos são selecionados para atraindo a atenção para a estruturação das anomalias. As amostras de sedimentos de corrente foram obtidas com base em mapas de base resolução 1:125.000, fazendo com que os dados de treino, validação, e teste sejam altamente contaminados com erros de interpretação.

O modelo com a melhor combinação de hiperparâmetros é utilizado para prever as ilhotas. Uma das limitações mais notáveis da metodologia é o aspecto gráfico do resultado, que ocorre devido à falta de informação espacial como dado de entrada para os modelos. Além disso, os alvos são selecionados para atraindo a atenção para a estruturação das anomalias. As amostras de sedimentos de corrente foram obtidas com base em mapas de base resolução 1:125.000, fazendo com que os dados de treino, validação, e teste sejam altamente contaminados com erros de interpretação.

O modelo com a melhor combinação de hiperparâmetros é utilizado para prever as ilhotas. Uma das limitações mais notáveis da metodologia é o aspecto gráfico do resultado, que ocorre devido à falta de informação espacial como dado de entrada para os modelos. Além disso, os alvos são selecionados para atraindo a atenção para a estruturação das anomalias. As amostras de sedimentos de corrente foram obtidas com base em mapas de base resolução 1:125.000, fazendo com que os dados de treino, validação, e teste sejam altamente contaminados com erros de interpretação.

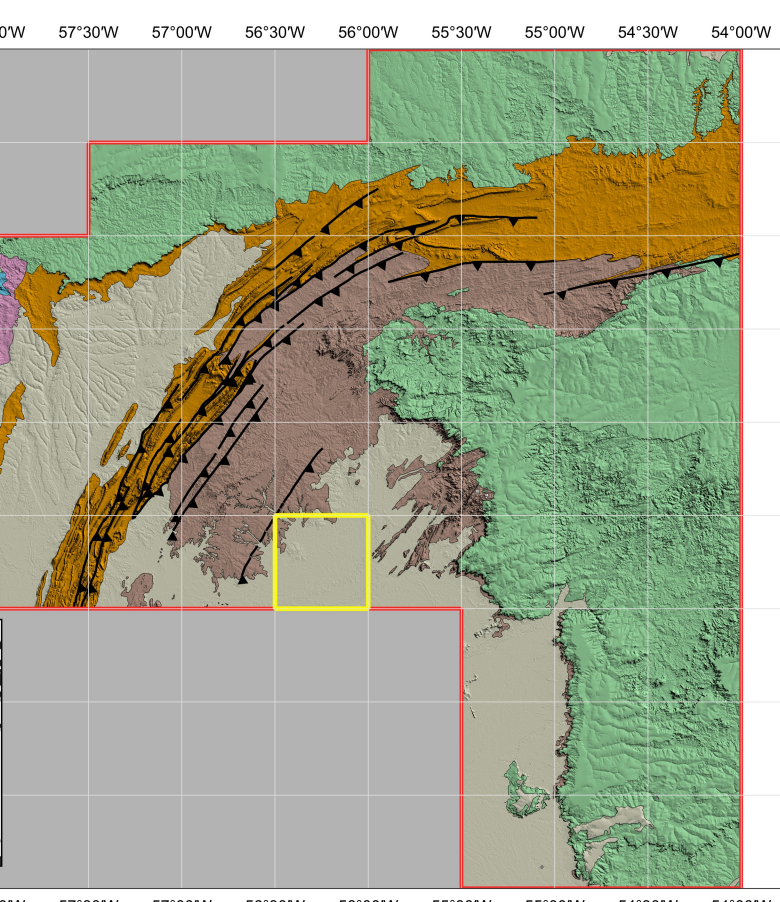
O modelo com a melhor combinação de hiperparâmetros é utilizado para prever as ilhotas. Uma das limitações mais notáveis da metodologia é o aspecto gráfico do resultado, que ocorre devido à falta de informação espacial como dado de entrada para os modelos. Além disso, os alvos são selecionados para atraindo a atenção para a estruturação das anomalias. As amostras de sedimentos de corrente foram obtidas com base em mapas de base resolução 1:125.000, fazendo com que os dados de treino, validação, e teste sejam altamente contaminados com erros de interpretação.

O modelo com a melhor combinação de hiperparâmetros é utilizado para prever as ilhotas. Uma das limitações mais notáveis da metodologia é o aspecto gráfico do resultado, que ocorre devido à falta de informação espacial como dado de entrada para os modelos. Além disso, os alvos são selecionados para atraindo a atenção para a estruturação das anomalias. As amostras de sedimentos de corrente foram obtidas com base em mapas de base resolução 1:125.000, fazendo com que os dados de treino, validação, e teste sejam altamente contaminados com erros de interpretação.

PROGRAMA GEOLÓGIA, MINERAÇÃO E TRANSFORMAÇÃO MINERAL  
AÇÃO LEVANTAMENTOS GEOLÓGICOS E INTEGRAÇÃO GEOLÓGICA REGIONAL

CARTA DE ANOMALIAS - ESCALA 1:100.000

**ENCARTE GEOTECTÔNICO**



**BACIA SEDIMENTARES FANEROZOICAS**

Bacia Sedimentar Cenozoica  
Bacia Paleo-Mesozóica  
Bacia Sedimentar Proterozoica

PROVÍNCIA TOCANTINS (1.200-500 Ma)  
FAIXA ALTO PARAGUAI (600-470 Ma)

Margem Paranaense (arcos e carbonato dominantes)

Rochas do Embaixado (1.780-1.720 Ma)

Área do Projeto

Folha de estudo

0 5 10 km

18°30' S 18°00' S 17°30' S 17°00' S 16°30' S 16°00' S 15°30' S 15°00' S 14°30' S 14°00' S 13°30' S 13°00' S 12°30' S 12°00' S 11°30' S 11°00' S 10°30' N 10°00' N 9°30' N 9°00' N 8°30' N 8°00' N 7°30' N 7°00' N 6°30' N 6°00' N 5°30' N 5°00' N 4°30' N 4°00' N 3°30' N 3°00' N 2°30' N 2°00' N 1°30' N 1°00' N 0°30' N 0°00' N 56°00' W 57°00' W 58°00' W 59°00' W 60°00' W 61°00' W 62°00' W 63°00' W 64°00' W 65°00' W 66°00' W 67°00' W 68°00' W 69°00' W 70°00' W 71°00' W 72°00' W 73°00' W 74°00' W 75°00' W 76°00' W 77°00' W 78°00' W 79°00' W 80°00' W 81°00' W 82°00' W 83°00' W 84°00' W 85°00' W 86°00' W 87°00' W 88°00' W 89°00' W 90°00' W 91°00' W 92°00' W 93°00' W 94°00' W 95°00' W 96°00' W 97°00' W 98°00' W 99°00' W 100°00' W 101°00' W 102°00' W 103°00' W 104°00' W 105°00' W 106°00' W 107°00' W 108°00' W 109°00' W 110°00' W 111°00' W 112°00' W 113°00' W 114°00' W 115°00' W 116°00' W 117°00' W 118°00' W 119°00' W 120°00' W 121°00' W 122°00' W 123°00' W 124°00' W 125°00' W 126°00' W 127°00' W 128°00' W 129°00' W 130°00' W 131°00' W 132°00' W 133°00' W 134°00' W 135°00' W 136°00' W 137°00' W 138°00' W 139°00' W 140°00' W 141°00' W 142°00' W 143°00' W 144°00' W 145°00' W 146°00' W 147°00' W 148°00' W 149°00' W 150°00' W 151°00' W 152°00' W 153°00' W 154°00' W 155°00' W 156°00' W 157°00' W 158°00' W 159°00' W 160°00' W 161°00' W 162°00' W 163°00' W 164°00' W 165°00' W 166°00' W 167°00' W 168°00' W 169°00' W 170°00' W 171°00' W 172°00' W 173°00' W 174°00' W 175°00' W 176°00' W 177°00' W 178°00' W 179°00' W 180°00' W 181°00' W 182°00' W 183°00' W 184°00' W 185°00' W 186°00' W 187°00' W 188°00' W 189°00' W 190°00' W 191°00' W 192°00' W 193°00' W 194°00' W 195°00' W 196°00' W 197°00' W 198°00' W 199°00' W 200°00' W 201°00' W 202°00' W 203°00' W 204°00' W 205°00' W 206°00' W 207°00' W 208°00' W 209°00' W 210°00' W 211°00' W 212°00' W 213°00' W 214°00' W 215°00' W 216°00' W 217°00' W 218°00' W 219°00' W 220°00' W 221°00' W 222°00' W 223°00' W 224°00' W 225°00' W 226°00' W 227°00' W 228°00' W 229°00' W 230°00' W 231°00' W 232°00' W 233°00' W 234°00' W 235°00' W 236°00' W 237°00' W 238°00' W 239°00' W 240°00' W 241°00' W 242°00' W 243°00' W 244°00' W 245°00' W 246°00' W 247°00' W 248°00' W 249°00' W 250°00' W 251°00' W 252°00' W 253°00' W 254°00' W 255°00' W 256°00' W 257°00' W 258°00' W 259°00' W 260°00' W 261°00' W 262°00' W 263°00' W 264°00' W 265°00' W 266°00' W 267°00' W 268°00' W 269°00' W 270°00' W 271°00' W 272°00' W 273°00' W 274°00' W 275°00' W 276°00' W 277°00' W 278°00' W 279°00' W 280°00' W 281°00' W 282°00' W 283°00' W 284°00' W 285°00' W 286°00' W 287°00' W 288°00' W 289°00' W 290°00' W 291°00' W 292°00' W 293°00' W 294°00' W 295°00' W 296°00' W 297°00' W 298°00' W 299°00' W 300°00' W 301°00' W 302°00' W 303°00' W 304°00' W 305°00' W 306°00' W 307°00' W 308°00' W 309°00' W 310°00' W 311°00' W 312°00' W 313°00' W 314°00' W 315°00' W 316°00' W 317°00' W 318°00' W 319°00' W 320°00' W 321°00' W 322°00' W 323°00' W 324°00' W 325°00' W 326°00' W 327°00' W 328°00' W 329°00' W 330°00' W 331°00' W 332°00' W 333°00' W 334°00' W 335°00' W 336°00' W 337°00' W 338°00' W 339°00' W 340°00' W 341°00' W 342°00' W 343°00' W 344°00' W 345°00' W 346°00' W 347°00' W 348°00' W 349°00' W 350°00' W 351°00' W 352°00' W 353°00' W 354°00' W 355°00' W 356°00' W 357°00' W 358°00' W 359°00' W 360°00' W 361°00' W 362°00' W 363°00' W 364°00' W 365°00' W 366°00' W 367°00' W 368°00' W 369°00' W 370°00' W 371°00' W 372°00' W 373°00' W 374°00' W 375°00' W 376°00' W 377°00' W 378°00' W 379°00' W 380°00' W 381°00' W 382°00' W 383°00' W 384°00' W 385°00' W 386°00' W 387°00' W 388°00' W 389°00' W 390°00' W 391°00' W 392°00' W 393°00' W 394°00' W 395°00' W 396°00' W 397°00' W 398°00' W 399°00' W 400°00' W 401°00' W 402°00' W 403°00' W 404°00' W 405°00' W 406°00' W 407°00' W 408°00' W 409°00' W 410°00' W 411°00' W 412°00' W 413°00' W 414°00' W 415°00' W 416°00' W 417°00' W 418°00' W 419°00' W 420°00' W 421°00' W 422°00' W 423°00' W 424°00' W 425°00' W 426°00' W 427°00' W 428°00' W 429°00' W 430°00' W 431°00' W 432°00' W 433°00' W 434°00' W 435°00' W 436°00' W 437°00' W 438°00' W 439°00' W 440°00' W 441°00' W 442°00' W 443°00' W 444°00' W 445°00' W 446°00' W 447°00' W 448°00' W 449°00' W 450°00' W 451°00' W 452°00' W 453°00' W 454°00' W 455°00' W 456°00' W 457°00' W 458°00' W 459°00' W 460°00' W 461°00' W 462°00' W 463°00' W 464°00' W 465°00' W 466°00' W 467°00' W 468°00' W 469°00' W 470°00' W 471°00' W 472°00' W 473°00' W 474°00' W 475°00' W 476°00' W 477°00' W 478°00' W 479°00' W 480°00' W 481°00' W 482°00' W 483°00' W 484°00' W 485°00' W 486°00' W 487°00' W 488°00' W 489°00' W 490°00' W 491°00' W 492°00' W 493°00' W 494°00' W 495°00' W 496°00' W 497°00' W 498°00' W 499°00' W 500°00' W 501°00' W 502°00' W 503°00' W 504°00' W 505°00' W 506°00' W 507°00' W 508°00' W 509°00' W 510°00' W 511°00' W 512°00' W 513°00' W 514°00' W 515°00' W 516°00' W 517°00' W 518°00' W 519°00' W 520°00' W 521°00' W 522°00' W 523°00' W 524°00' W 525°00' W 526°00' W 527°00' W 528°00' W 529°00' W 530°00' W 531°00' W 532°00' W 533°00' W 534°00' W 535°00' W 536°00' W 537°00' W 538°00' W 539°00' W 540°00'